

ZREDUKOWANE HOMOLOGIE KHOVANOVA

WOJCIECH LUBAWSKI

STRESZCZENIE. Waciwie od momentu zdefiniowania przez Khovanova [2] nowego niezmiennika będącego kategoryfikacją wielomianu Jonesa, nazwanego później homologiami Khovanova, zauważono potrzebę (i to zarówno teoretyczną jak i obliczeniową) posługiwania się *zredukowanymi homologiami*. Niestety, okazało się, że jedyne dostępne definicje w przypadku zwykłych homologii są nienaturalne – zależą od dokonywania wyborów skadkowych odpowiednich diagramów i nie dają się uogólnić na struktury kategoryjne wyższych poziomów (jak na przykład na morfizmy między wżami); zważywszy ten spotgowa fakt skonstruowania takich zredukowanych homologii dla nieparzystych homologii Khovanova podanych przez Rasmussena, Ozsvatha i Szabo w [4]. W poniższej pracy konstuuujemy *waciwie* zredukowane homologie Khovanova, które można naturalnie zdefiniować dla dowolnego diagramu wża lub splotu.

1. WPROWADZENIE

W [5] zdefiniowano nową wersję homologii Khovanova. Przypomnijmy skonstruowane tam struktury algebraiczne.

Rozważmy specjalny rodzaj algebry tensorowej generowanej przez moduł z gradacją $A = R\mathbf{1} \oplus R\mathbf{x}$ nad $R = \mathbb{Z}[X, Y, Z]/X^2 = Y^2 = 1$ z operacjami danymi poprzez:

- mnożenie $m: A^{\otimes 2} \rightarrow A^{\otimes 1}$

$$\begin{aligned} m(\mathbf{1}\mathbf{1}) &= 1 & m(\mathbf{1}\mathbf{x}) &= \mathbf{x} \\ m(\mathbf{x}\mathbf{1}) &= XZ\mathbf{x} & m(\mathbf{x}\mathbf{x}) &= 0 \end{aligned}$$

- komnoenie $\Delta: A^{\otimes 1} \rightarrow A^{\otimes 2}$

$$\begin{aligned} \Delta(\mathbf{1}) &= \mathbf{x}\mathbf{1} + YZ\mathbf{1}\mathbf{x} \\ \Delta(\mathbf{x}) &= (\mathbf{x}\mathbf{x}) \end{aligned}$$

- jedno $\eta: R \rightarrow A$

$$\eta(1) = \mathbf{1}$$

2010 *Mathematics Subject Classification*. Primary 55R37.

Key words and phrases. teoria wżów, homologie Khovanova.

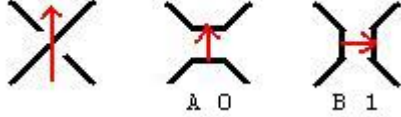
- kojedno $\epsilon: A \rightarrow R$

$$\epsilon(\mathbf{1}) = 0 \qquad \epsilon(\mathbf{x}) = 1$$

- permutacja $P: A^{\otimes 2} \rightarrow A^{\otimes 2}$

$$\begin{aligned} P(\mathbf{11}) &= X\mathbf{11} & P(\mathbf{1x}) &= Z^{-1}\mathbf{x1} \\ P(\mathbf{xx}) &= Y\mathbf{xx} & P(\mathbf{x1}) &= Z\mathbf{1x} \end{aligned}$$

Oznaczmy przez D dowolny diagram rozpatrywanego splotu. Diagram taki wyposażamy w każdym skrzyżowaniu w strzałki (moemy wybrać jeden z dwóch nierównowanych sposobów narysowania takich strzaek, niemniej oba sposoby dadz izomorficzne obiekty) zgodnie z nastpujcz zasadz:



Obrazek powyzej pokazuje równie sposoby tzw. wygadzenia skrzyżowania. Jeli mamy na diagramie D dokadnie n skrzyżowa, to indeksujcz dowolnie skrzyżowania otrzymamy n strzaek przypisanych do n skrzyżowa w diagramie D . Podobnie dla dowolnego $I \subseteq \{0, 1\}^n$ otrzymamy n strzaek na n skrzyżowaniach, przy czym k -te skrzyżowanie wygadamy w sposób wskazany przez k -tż współzdnz I . Wygadzenie takie oznaczmy $D(I)$, skada si ono z dokadnie $k(I)$ rozcznych okręgów (które bdziemy dalej oznacza $\bar{s}_1, \dots, \bar{s}_{k(I)}$). Dla uatwienia opisu przyjmijmy, e $s(a_i)$ oznacza okrąg z którego a_i wychodzi, $t(a_i)$ okrąg do którego a_i idzie.

Niech teraz K_k oznacza dla kadego k graf peny o k wierzchokach, wyposażony w dodatkowe informacje. Jeli $k = k(I)$ to uywamy take oznaczenia K_I .

Zauwamy na przykad, e $D(0)$ moemy utosami z podgrafem $K_{k(0)}$ wyposażonym dodatkowo w cykliczny porzdek pomidzy krawdziami przy kadym z wierzchoków. Podgraf ten bdziemy oznacza $\mathcal{M}(D(0))$.

Niech $\mathcal{A}'(I)$ bdzie zbiorem skadajczym si z wierzchoków i krawdzi $K(I)$. Rozpinajcz na tym zbiorze abelowz grup wolnz, a nastpnie na grupie jej piercie grupowy otrzymamy piercie $\mathcal{A}(I)$, który bdziemy dalej nazywa wolnz algebrz strzaek $D(I)$. Niech A bdzie piercieniem Frobeniusa po raz pierwszy zdefiniowanym przez Khovanova w [], tj. $A = \mathbb{Z}\mathbf{1} \oplus \mathbb{Z}\mathbf{x}$ gdzie A jest wyposażone w dodatkowz gradacj, przy której $\deg \mathbf{1} = -1$ oraz $\deg \mathbf{x} = +1$. Definiujemy reprezentacj \mathcal{A} do odpowiedniej potgi tensorowej A w sposób nastpujczy:

$$ev_I: \mathcal{A} \rightarrow \mathbb{Z}Mor(K^{\otimes k(I)}, K^{\otimes k(I)})$$

Jeli $a_i \in \mathcal{A}$ jest strzakż dla której $s(a_i) = \bar{s}_s$ oraz $t(a_i) = \bar{s}_t$ (dla $s \neq t$) to przyjmujemy $ev_I(a_i) = T^{s,t}$; jeli a_i taka, e $s(a_i) = t(a_i) = \bar{s}_s$ to $ev_I(a_i) = T^s$ gdzie $T^{s,t}: K^{\otimes 2} \rightarrow K^{\otimes 2}$ jest dane poprzez

$$\begin{aligned} T^{s,t}(\mathbf{11}) &= \mathbf{x1} + \mathbf{1x} & T^{s,t}(\mathbf{1x}) &= \mathbf{xx} \\ T^{s,t}(\mathbf{x1}) &= \mathbf{xx} & T^{s,t}(\mathbf{xx}) &= \mathbf{01x} \end{aligned}$$

ponadto $T^s: K \rightarrow K$ jest dane jako

$$T^s(\mathbf{1}) = 2\mathbf{x} \quad T^s(\mathbf{x}) = 0$$

Rozszerzamy ev_I do caego \mathcal{A} przyjmujżc $ev_I(a_{i_1} \dots a_{i_m}) = ev_I(a_{i_1}) \circ \dots \circ ev_I(a_{i_m})$. Oznaczmy poprzez \mathcal{O}_I obraz odwzorowania ev_I .

Zauwamy, e mamy nastpujżce operacje. Jeli $D(I)$ oraz $D(J)$ sż dwoma wygadzeniami diagramu D róniczymi si tylko sposobem wygadzenia skrzyzowania o indeksie i , to definiujemy $\partial_J^I: \mathcal{A}(I) \rightarrow \mathcal{B}(I)$ jako:

$$\partial_J^I(a_{i_1} \dots a_{i_m}) = \begin{cases} a_{i_1} \dots a_{i_m} & , s(a_i) \neq t(a_i) \text{ w } I \\ a_i a_{i_1} \dots a_{i_m} & , s(a_i) = t(a_i) \text{ w } I \end{cases}$$

Zauwamy, e zachodzi nastpujżce

Theorem 1. *Nastpujżcy diagram jest przemienny*

$$\begin{array}{ccccc} \mathcal{A}(I) & \xrightarrow{ev_I} & \circ & \xrightarrow{e_1} & \mathcal{A}^{\otimes k(I)} \\ \downarrow \partial_J^I & & \downarrow & & \downarrow \\ \mathcal{A}(J) & \xrightarrow{ev_J} & \circ & \xrightarrow{e_1} & \mathcal{A}^{\otimes k(J)} \end{array}$$

gdzie e_1 jest wziciem wartoci danego odwzorowania na odpowiednio duej potdze tensorowej jedyнки, a róniczka z prawej strony jest róniczkkż Khovanova.

Przyjmujżc jako $|I|$ sum wszystkich wspóczynników w I oraz

$$\partial^I = \sum_{I < J} \epsilon_J^I \partial_J^I,$$

gdzie ϵ_J^I jest uznakowaniem Khovanova otrzymamy kompleks

$$\mathcal{O}_k: = \bigoplus_{|I|=k} \mathcal{O}_I.$$

2. DOWÓD NIEZMIENNICZOZI – KOMPLEKS STRZAKOWY

W celu wykazania, że kompleks \mathcal{O} jest niezmienny względem ruchów Reidemaistera przedstawimy alternatywny opis tego kompleksu w języku grafów. Podobny zabieg zastosował Bloom w pracy [12] dowodząc niezmienniczości homologii nieparzystych względem mutacji. Niech zatem $\mathcal{R}'(D(I))$ będzie zbiorem pografów K_I zdefiniowanym w sposób następujący. $X \in \mathcal{R}'(D(I)) \Leftrightarrow$ gdy dla dowolnej skądowej spójnej S zachodzi jeden z poniższych warunków:

- 1) S jest wyrónionym wierzchokiem;
- 2) $\pi(S) = 0$ i S ma co najwyżej jeden wyróniony wierzchoek;
- 3) $\pi(S) = \mathbb{Z}$ i S nie posiada wyrónionych wierzchoków.

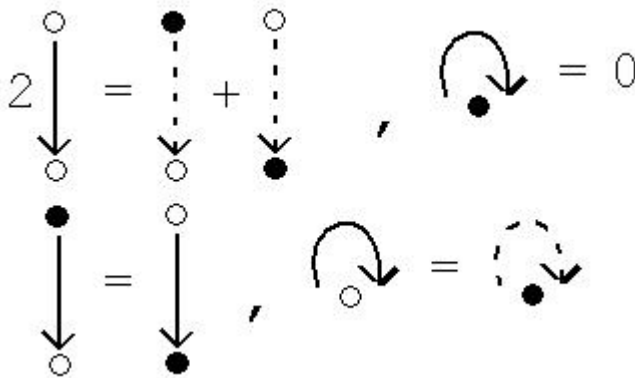
Definiujemy $\mathcal{R}(D(I)) := \mathbb{Z}\mathcal{R}'(D(I))$. Zauważamy, że mamy odwzorowanie

$$\psi: \mathcal{R}(D(I)) \rightarrow \mathcal{A}(I)$$

przyporządkowujące strzace a_i odwzorowanie $T^{s(a_i), t(a_i)}$ lub $T^{s(a_i)=t(a_i)}$, wierzchokowi \bar{s}_m odwzorowanie T^m , a podgrafowi składającemu się z paru krawędzi i wierzchoków odpowiednie zoenie (zauważamy, że kolejno zoenia nie jest istotna).

W wielu miejscach poniżej będziemy rysować fragmenty diagramów w których – biały wierzchoek oznacza niewyróniony wierzchoek diagramu, czarny wierzchoek oznacza wyróniony wierzchoek, przerywana strzaka oznacza strzak $D(I)$ nie leżący w rozpatrywanym jego podzbiorze, a cięga strzaka oznacza strzak w $D(I)$ która leży w rozpatrywanym jego podzbiorze.

Lemma 2. *Jźdro odwzorowania ψ jest generowane przez następujące relacje (przedstawione lokalnie):*

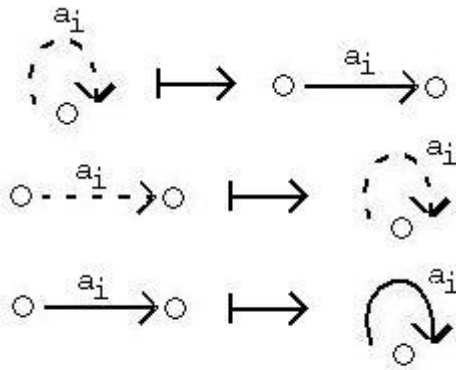


dodatkowo jeli l_1, \dots, l_{2m} jest parzystym cyklem w grafie, to $l_1 + l_3 + \dots + l_{2m-1} = l_2 + \dots + l_{2m}$, a jeli l_1, \dots, l_{2m} jest dowolnym cyklem w grafie, to

$l_1 + l_2 + \dots + l_m = l_1 + \dots + l_{2m-1}$ dowolny wyróniony wierzchoek na cyklu (take rozumiane jako relacje lokalne).

Definition 3. Zbiór $\Theta_I := \mathcal{R}(D(I))/\ker \psi$ nazwiemy grupę grafów dla diagramu $D(I)$.

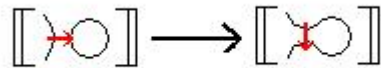
Zauwamy e mamy, podobnie jak wczenej, różniczkowanie. Jeli wygadzenia diagramu $D(I)$ oraz $D(J)$ różni si tylko wygadzeniem w skrzyowaniu i -tym (lub inaczej, wzdu strzaki $a_i \in \mathcal{M}(D(0))$) to w zalenoci od sytuacji wyjciowej moemy mie dwie sytuacje:



podobnie jeli który z przylegających wierzchoków jest wyróniony to wyróniamy także samą liczb wierzchoków po drugiej stronie (zauwamy e zgodnie z opisem jźdra ψ różniczka jest poprawnie okrełona).

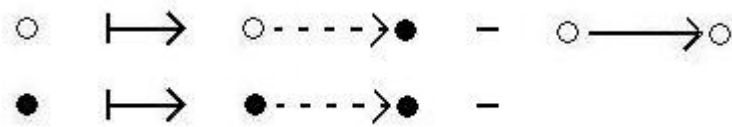
Przejdmy nastpnie do wykazania, e kompleks (a dokadniej jego homologie) sż rzeczywicie niezmiennikiem wza. Dowód przeprowadzimy w duchu Bar-Natana [1], korzystając silnie z jego intuicji geometrycznej.

2.1. Niezmienniczo wzgldem 1RM. W przypadku pierwszego ruchu Reidemaistera mamy nastpne odwzorowanie kompleksów:



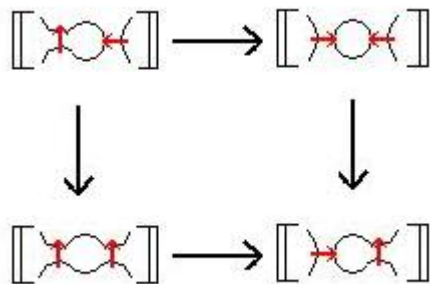
Warto zauway, e nasz wyjciowy kompleks jest stokiem nad tym odwzorowaniem.

odwzorowanie zdefiniowane w sposób nastpujący:



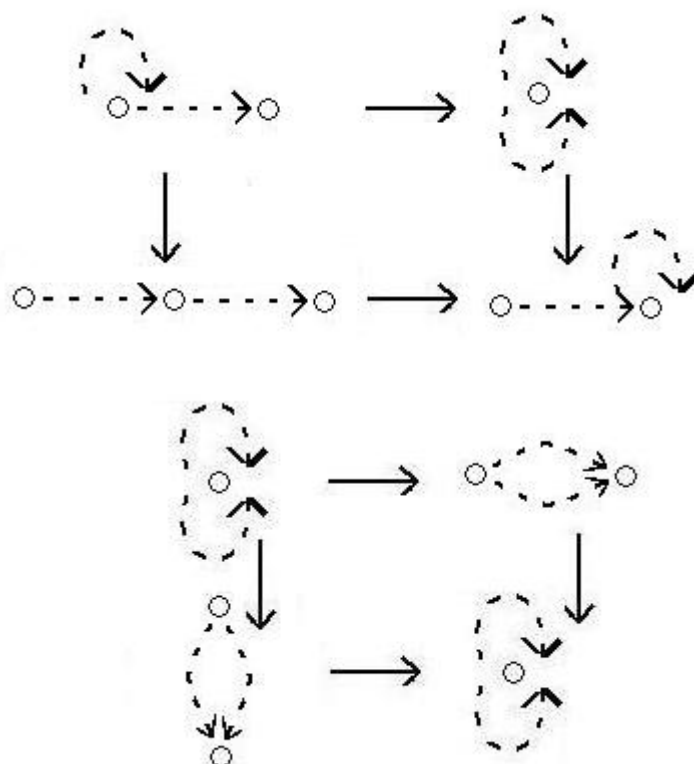
indukuje izomorfizm homologii szukanego wza i wza „bez ptelki”, tj. po wykonaniu pierwszego ruchu Reidemaistera.

2.2. **Niezmienniczo wzgldem 2RM.** Mamy nastpujcy diagram:

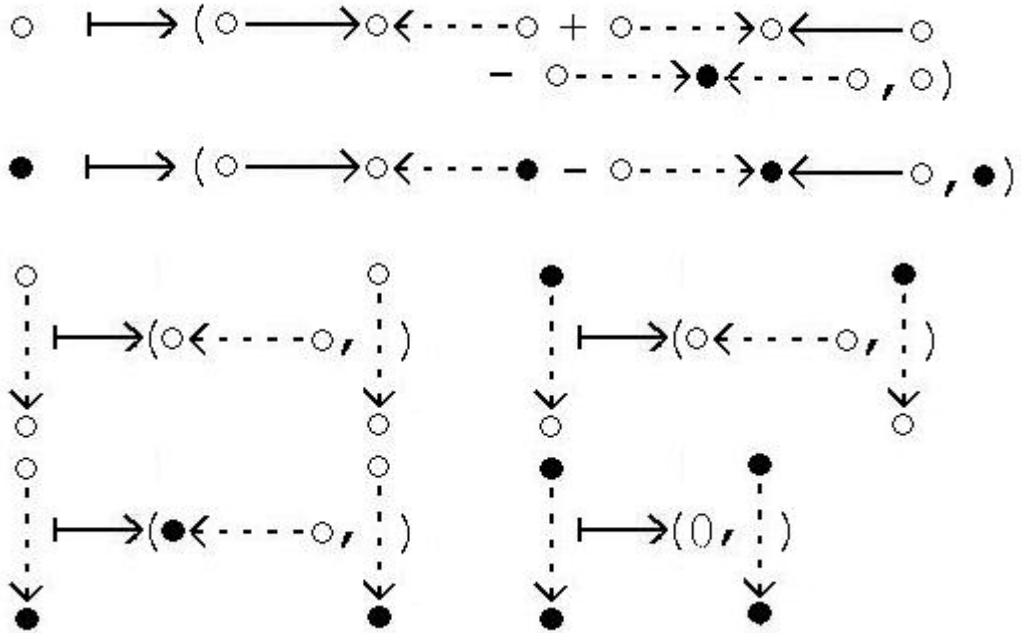


niestety, w naszym przypadku mamy dwie moliwoci uzupienienia tego diagramu do penych okrgów. Niezmienniczo musimy pokaza dla kadego z nich zwracajc uwag na przemienno tych dwóch przypadków z odpowiednimi róniczkami.

Obydwa przypadki przedstawiamy na nastpujcych dwóch diagramach:

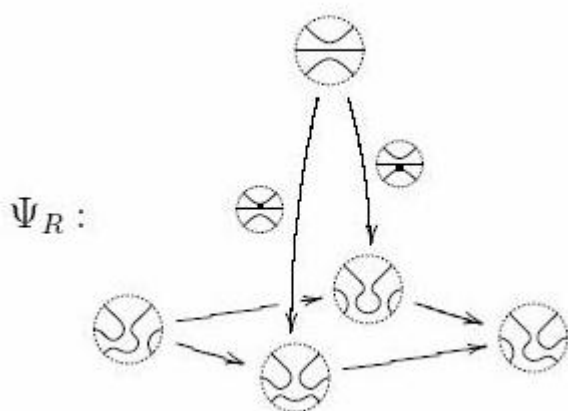
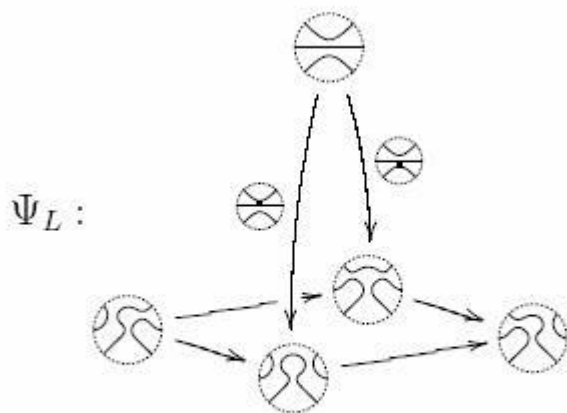


a odpowiednie odwzorowania, prowadzące do przekątnej diagramów (kompleks lewy dolny jest w parze pierwszy) przedstawiamy jako:



Z tego, że pomiędzy dowolnymi dwoma okręgami jest co najmniej jedna strzałka oraz z postaci jądra ψ wynika, że odwzorowania te składają się w jedno odwzorowanie kompleksów, indukujące izomorfizmy w homologiach, co dowodzi niezmienniczości.

2.3. Niezmienniczo względem 3RM. Zauważamy wprawdzie, że odwzorowanie zdefiniowane dla 2RM jest w rzeczywistości retrakcją deformacyjną, więc stosując twierdzenie o stokach otrzymamy, że kompleksy dla dwóch stron trzeciego ruchu Reidemaistera są homotopijne do stoków:



a te, jak atwo wida, sż jednakowe.

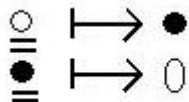
3. WERSJA CHRONOLOGICZNA

Niech $R' = \mathbb{Z}[X, Y]/X^2 = Y^2 = 1$. Zgodnie z powyszym podrozdziałem wystarczy rozpatrywa kompleksy nad R' zamiast nad R . atwo zauway (czego ju nie bdziemy robi), e wszystkie powysze definicje i rozumowania da si przeprowadzi równie w przypadku chronologicznym. Istotna moe by równie informacja, e taki zredukowany chronologiczny kompleks Khovanova w przypadku nieparzystych homologii Khovanova redukuje si do zredukowanych homologii Khovanova (zdefiniowanych oryginalnie w [4]).

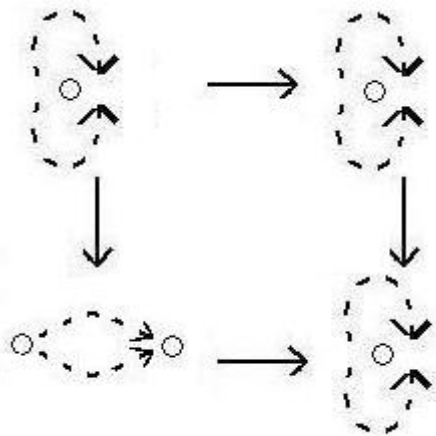
4. WZY WIRTUALNE

Wzy wirtualne to wzy wyposażone w jeszcze jeden rodzaj skrzyżowania, tzw. skrzyżowanie wirtualne. Dwa diagramy wza wirtualnego są równoważne, jeśli od jednego do drugiego możemy dojść poprzez ruch Reidemaistera oraz tzw. detour move: fragment wza pomiędzy dwoma punktami, który posiada wyłącznie skrzyżowania wirtualne możemy wymazać i narysować w dowolny sposób ponownie - pamiętając by wszystkie nowe skrzyżowania oznaczyć jako wirtualne.

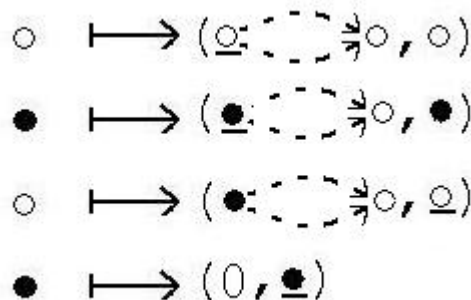
Homologie dla wzów wirtualnych definiujemy poprzez wzięcie dwóch kopii kompleksu zredukowanego (drugą kopię będziemy oznaczać poprzez dodanie kreski pod jednym z wierzchołków) oraz dodefiniowanie nowego odwzorowania, tzw. twistu idącego od jednego okręgu do jednego okręgu jako dodanie kreski do danego elementu zgodnie z relacjami (kreskę możemy zawsze dowolnie ustawić na diagramie):



Aby wykazać niezmienniczo homologii dla wzów wirtualnych łatwo zauważyć, że wystarczy sprawdzić 2RM. Istotnie, do pierwszego ruchu wirtualnego wza nic nie wnosi, a trzeci wynika w taki sam sposób z drugiego jak w przypadku klasycznym. Drugi ruch w jedynym nieklasycznym przypadku wygląda w sposób następujący:



Licząc homologie dochodzimy, podobnie jak i w pozostałych przypadkach, posługując się interpretacją geometryczną następujące odwzorowanie:



atwo take zauway, e jest ono zgodne z odwzorowaniami zdefiniowanymi poprzednio czyli skada si z nimi do odwzorowania kompleksów, a to dowodzi niezmienniczoci wzgldem 2RM.

LITERATURA

- [1] D. Bar-Natan, *Khovanov’s homology for tangles and cobordisms*, Geom. Topol. 9 (2005), 1443-1499, arXiv:math/0410495v2
- [2] M. Khovanov, *A categorification of the Jones polynomial*, Duke Math. J. 101 (2000), 359-426, arXiv:math/9908171v2
- [3] M. Khovanov, *An invariant of tangle cobordisms*, Trans. Amer. Math. Soc. 358 (2006), 315-327,
- [4] P. Ozvath, J. Rasmussen, Z. Szabo, *Odd Khovanov homology*, arXiv:0710.4300v1
- [5] K. Putyra, *Cobordisms with chronologies and a generalisation of the Khovanov complex*, arXiv:1004.0889v1
- [6] A. Shumakovitch, *Patterns in odd Khovanov homology*, arXiv:1101.5607v2
- [7] J.S. Carter, M. Saito, *Knotted surfaces and their diagrams*, Math. Surv. Mon. 55, AMS, 1998
- [8] D. Clark, S. Morrison and K. Walker, *Fixing the functoriality of Khovanov homology*, arXiv:math.GT/0701339.
- [9] C. Caprau, *An $sl(2)$ tangle homology and seamed cobordisms*, arXiv:0707.3051.
- [10] V.O. Manturov, *Khovanov homology for virtual knots with arbitrary coefficients*, arXiv:math/0601152v3
- [11] P.B. Kronheimer, T.S. Mrowka, *Khovanov homology is an unknot-detector*, arXiv:1005.4346
- [12] J. Bloom, *Odd Khovanov homology is mutation invariant*, arXiv:0903.3746
- [13] D. Tavares, *Odd Khovanov homology for virtual knots*, dostpne online: <https://dspace.ist.utl.pt/bitstream/2295/722646/1/Dissertacao.pdf>
- [14] V. Turaev, P. Turner, *Link homology and unoriented topological quantum field theory*, Algebr. Geom. Topol. 6 (2006), 1069.1093

THEORETICAL COMPUTER SCIENCE DEPARTMENT, JAGIELLONIAN UNIVERSITY, GOBIA 24, 00-300 KRAKÓW, POLAND

INSTITUTE OF MATHEMATICS, POLISH ACADEMY OF SCIENCES, NIADECKICH 8,
00-956 WARSZAWA, POLAND
E-mail address: w.lubawski@gmail.com